

ทรานส์ควอเตอร์กำลังไฟฟ้าชนิดซอลล์เอฟเฟ็ค



นายวิชัย ผดุงศิลป์

วิทยานิพนธ์นี้เป็นส่วนหนึ่งของการศึกษาตามหลักสูตรปริญญาวิศวกรรมศาสตรมหาบัณฑิต

ภาควิชาวิศวกรรมไฟฟ้า

บัณฑิตวิทยาลัย จุฬาลงกรณ์มหาวิทยาลัย

พ.ศ. 2528

ISBN 974-564-253-3

008755

17533570

**HALL-EFFECT WATT TRANSDUCER**

Mr. Wichai Phadungsilp

A Thesis Submitted in Partial Fulfillment of the Requirements  
for the Degree of Master of Engineering

Department of Electrical Engineering

Graduate School

Chulalongkorn University

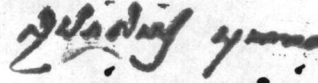
1985

ISBN 974-564-253-3



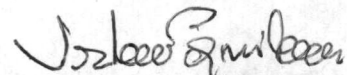
หัวข้องานพนธ ทรานสดิวเซอร์กำลังไฟฟ้าชนิดซอลล์เอฟเฟ็ค  
โดย นายวิชัย ผดุงศิลป์  
ภาควิชา วิศวกรรมไฟฟ้า  
อาจารย์ที่ปรึกษา รองศาสตราจารย์ ดร.ประโมทย์ อนต์ไวทยะ  
ผู้ช่วยศาสตราจารย์ ไพบลัย ไชยนิล

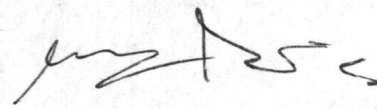
บัณฑิตวิทยาลัย จุฬาลงกรณ์มหาวิทยาลัย อนุมัติให้วิทยานิพนธฉบับนี้เป็นส่วนหนึ่ง  
ของการศึกษาตามหลักสูตรปริญญาโทบัณฑิต

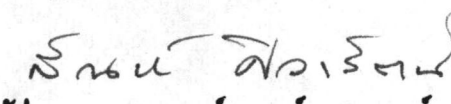
  
( รองศาสตราจารย์ ดร.ส.ประคษฐ์ บุนนาค )  
คณบดีบัณฑิตวิทยาลัย

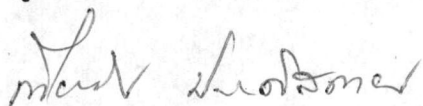
คณะกรรมการสอบวิทยานิพนธ

  
( ผู้ช่วยศาสตราจารย์ จมพล พรหมพิทักษ์ )  
ประธานกรรมการ

  
( รองศาสตราจารย์ ดร.ประโมทย์ อนต์ไวทยะ )  
กรรมการ

  
( ผู้ช่วยศาสตราจารย์ ไพบลัย ไชยนิล )  
กรรมการ

  
( ผู้ช่วยศาสตราจารย์ สมิต ศิวารัตน )  
กรรมการ

  
( รองศาสตราจารย์ ดร.เทียนชัย ประคิสถायน )  
กรรมการ



Thesis Title        Hall-Effect Watt Transducer

Name                Mr. Wichai Phadungsilp

Department        Electrical Engineering

Thesis Adviser    Associate Professor Pramohit UNHAVAITHAYA, Ph.D  
Assistant Professor Paibul CHAIYANIL

#### ABSTRACT

This thesis presents a design and construction of a watt transducer using the Hall-effect element as principal component. The Hall generator is located in an air gap of a magnetic circuit. The AC line current flows through a coil of this circuit and consequently sets up a magnetic field in the core which is proportional to the input current. The line voltage supplies a control current to the Hall generator. Since the output of the Hall device is a product function, the output voltage therefore contains both DC and AC components. The first term is a DC term that can directly be calibrated in watts and the second term is a double frequency AC term which is proportional to voltampere input. In this design, the phase shift error of magnetic field due to the hysteresis of the magnetic core and the temperature dependence of Hall-effect device were compensated. The accuracy test was made in DC and AC both in steady state and transient conditions. Furthermore, this watt transducer was also interfaced with a Z-80 microprocessor. The objective is to measure and read the power in watts and propose it as an approach to the application in a digital data processing control such as an energy management in large buildings.



ผู้ท้าวทยานพนธ์ขอขอบพระคุณท่านรองศาสตราจารย์ ดร. ประโมทย์ อนต์ไวยะ อาจารย์  
ที่ปรึกษาวิทยานพนธ์ท่านแรก ที่แนะนำแนวทาง และขอบเขตของการวิจัยที่เป็นประโยชน์หลายอย่าง  
ขอขอบพระคุณท่านผช่วยศาสตราจารย์ ไพบลัย ไชยนิล อาจารย์ที่ปรึกษาวิทยานพนธ์อีกท่าน ที่กรุณาให้  
คำแนะนำและแก้ปัญหาที่เกิดขึ้นมาโดยตลอด และกระตุ้นให้ท้าวทยานพนธ์เห็นถึงความสำคัญของวิทยา  
นพนธ์นี้ ทั้งยังช่วยกรุณาอ่านบททวน แกไขวิทยานพนธ์หลายอย่างจนวิทยานพนธ์นี้สำเร็จลุล่วงลงได้

ท้ายนี้ขอขอบพระคุณท่านรองศาสตราจารย์ ดร. เทียนชัย ประดิศถายน ที่กรุณาแนะนำ  
หลายประการที่เป็นประโยชน์แก่วทยานพนธ์



	หน้า
บทคัดย่อภาษาไทย.....	ม
บทคัดย่อภาษาอังกฤษ.....	ง
กิตติกรรมประกาศ.....	จ
รายการรูปและกราฟ.....	ฎ
รายการตาราง.....	ก
สัญลักษณ์.....	ค

บท

1. บทนำ	
1.1 คำนำ.....	1
1.2 ความเป็นมาของซอลล์เอฟไฟฟ์ควัตตธานส์คว เซอร์.....	2
1.3 จุดมุ่งหมายของวิทยานิพนธ์และประโยชน์ที่จะได้.....	2
1.4 ขั้นตอนในการดำเนินการวิจัย.....	3
1.4.1 บทที่ 2.....	3
1.4.2 บทที่ 3.....	3
1.4.3 บทที่ 4.....	3
1.4.4 บทที่ 5.....	4
1.4.5 บทที่ 6.....	4
1.4.6 บทที่ 7.....	4
1.4.7 ผลการทดสอบ.....	4

สารบัญ (ต่อ)

	หน้า
2. ทฤษฎีในการวัดกำลังไฟฟ้าประสิทธิภาพ	
2.1 คำนวณ.....	5
2.2 กำลังไฟฟ้าในวงจร AC.....	5
2.3 การวิเคราะห์หาสัญญาณของกำลังไฟฟ้าชั่วขณะ.....	13
3. ทฤษฎีและการวิเคราะห์เพื่อออกแบบสร้างฮอลล์เอฟเฟ็คต์ วัดอัตราการสควเซอร์	
3.1 คำนวณ.....	17
3.2 ทฤษฎีและโครงสร้างของฮอลล์-เอฟเฟ็คต์.....	17
3.3 คุณสมบัติของแผ่นสารของฮอลล์.....	21
3.3.1 ผลของอุณหภูมิต่ออุปกรณ์ฮอลล์เอฟเฟ็คต์.....	23
3.3.2 ผลของสนามแม่เหล็กต่อค่าความต้านทาน ภายในของ ฮอลล์เอฟเฟ็คต์.....	25
3.3.3 ค่าความต้านทาน โหลดที่เหมาะสมของสัญญาณ เอาต์พุตเป็นเชิงเส้นในย่านสนามแม่เหล็ก B ใด ๆ.....	27
3.3.4 ความต้านทานซีโรคอมโปเนนท์.....	30
3.3.5 ซีโรคอมโปเนนท์ก่อนคดแทนซ์.....	31
3.4 หลักการของฮอลล์เอฟเฟ็คต์วัดอัตราการสควเซอร์.....	32
4. การออกแบบสร้างฮอลล์เอฟเฟ็คต์วัดอัตราการสควเซอร์	
4.1 คำนวณ.....	37
4.2 การออกแบบตัวคูณสัญญาณแบบฮอลล์.....	38
4.2.1 การออกแบบวงจรชุดขยายค่าแรงดันความต้านทาน ทานซีโรคอมโปเนนท์.....	39

สารบัญ (ต่อ)

	หน้า
4.2.2 การวิเคราะห์หาขนาดกระแสความถี่ที่เหมาะสม.	41
4.2.3 การวิเคราะห์หาความต้านทาน โหลดและขนาด สนามแม่เหล็กเหนี่ยวนำที่เหมาะสม.....	42
4.2.4 วงจรสนามแม่เหล็กเหนี่ยวนำ.....	44
4.3 วงจรกระแสความถี่ของฮอลล์ เอนเนอไรเตอร์.....	48
4.4 วงจรป้องกันฮอลล์ เอนเนอไรเตอร์.....	55
4.4.1 วงจรตรวจจับแรงดันสูงสุด.....	56
4.4.2 วงจรเปรียบเทียบแรงดันและขั้วรีเลย์.....	57
4.5 การออกแบบวงจรแรงดันอินพุท.....	59
4.5.1 การออกแบบวงจรอินพุทของแรงดัน AC.....	59
4.5.2 การออกแบบวงจรอินพุทของแรงดัน DC.....	60
4.6 การออกแบบวงจรขยายสัญญาณ.....	62
4.7 การออกแบบวงจรตัวกรองแอกติฟที่เพิ่มความถี่.....	64
5. การปรับเทียบและทดสอบฮอลล์ เอฟเฟกต์ทรานสดิวเซอร์	
5.1 คำนำ.....	70
5.2 การทดสอบตัวคุณสมบัติของฮอลล์.....	70
5.2.1 การทดสอบความเป็นเชิงเส้น.....	70
5.2.2 การทดสอบผลของอุณหภูมิ.....	71
5.2.3 การทดสอบหาค่าเพี้ยน.....	71
5.3 การทดสอบวงจรขยายสัญญาณ.....	72

สารบัญ (ต่อ)

	หน้า
5.4 การเปรียบเทียบและทดสอบวัดกำลังไฟฟ้า.....	72
5.4.1 การเปรียบเทียบวัตตทรานส์คิวเซอร์.....	72
5.4.2 การทดสอบวัดกำลังไฟฟ้า.....	73
5.5 การทดสอบผลของสภาพแวดล้อมต่อวัตตทรานส์คิวเซอร์	74
5.5.1 การทดสอบผลของอุณหภูมิ.....	74
5.5.2 การทดสอบผลของการเปลี่ยนแปลงแหล่งจ่าย กำลังไฟฟ้า.....	74
6 ตัวอย่างการใช้งานร่วมกับไมโคร โปร เซสเซอร์ Z-80	
6.1 คำนำ.....	91
6.2 ซอลล เอฟไฟเคตติจต่อลวัตตมิเตอร์.....	91
6.2.1 วงจรอินเตอร์ เฟซของซอลล เอฟไฟเคตติจต่อล วัตตมิเตอร์.....	93
6.2.2 โปรแกรมขอมูลคำสั่งของซอล เอฟไฟเคตติจต่อล วัตตมิเตอร์.....	95
7. สรุปผลและขอเสนอแนะ	
7.1 คำนำ.....	107
7.2 วงจรตัวคูณสัญญาณของซอลล.....	107
7.3 วงจรขยายสัญญาณวัด.....	108
7.4 ค่าความเที่ยงตรงของซอลล เอฟไฟเคตติจต่อลวัตตมิเตอร์.....	108
7.5 ปัญหาในการดำเนินการวิจัย.....	108
7.6 ขอเสนอแนะ.....	109

สารบัญ (ต่อ)

	หน้า
เอกสารอ้างอิง.....	114
ภาคผนวก.....	
ก. ตำแหน่งหน้าที่ของ ส่วนควบคุมและขบวนการ.....	116
ข. วงจร, วงจรแผนผังและการวางอุปกรณ์.....	123
ค. รายการอุปกรณ์.....	131
ง. แกนแม่เหล็กและหม้อแปลงแรงดัน.....	137
จ. ตารางผลการทดลอง.....	141
ฉ. เครื่องมอวัดและอุปกรณ์ที่ใช้ในการทดสอบ.....	170
ช. คุณสมบัติและรายละเอียดของอุปกรณ์.....	172
ประวัติผู้เขียน.....	190

รายการรูปประกอบ

รูป	หน้า
2.1	5
2.2	8
2.3	10
2.4	10
2.5	12
2.6	15
2.7	16
3.1	17
3.2	22
3.3	24
3.4	25
3.5	26
3.6	27
3.7	28
3.8	29
3.9	30

รายการรูปประกอบ (ต่อ)

รูปที่	หน้า
3.10 แสดงการเกิดแรงดันซีโรคอมโปเนนทของฮอลล์เอฟเฟกต์ในเนื้อเรเตอร์ ที่ค่าความหนาแน่นสนามแม่เหล็ก $B=0$ .....	31
3.11 หลักการของตัวคูณแบบฮอลล์.....	32
3.12 หลักการของฮอลล์เอฟเฟกต์ควัตตธานส์ควเซอร์.....	33
3.13 ฮอลล์เอฟเฟกต์ควัตตธานส์ควเซอร์ที่ใช้หม้อแปลงแรงดันขั้วเข้า เฟสขั้วเข้าเนื่องจากฮัสเตอเรซิสของแม่เหล็ก.....	35
4.1 บล็อกไดอะแกรมของฮอลล์เอฟเฟกต์ควัตตธานส์ควเซอร์.....	38
4.2 แสดงวงจรทดสอบหาค่า $r_0$ ของฮอลล์เอฟเฟกต์ในเนื้อเรเตอร์.....	39
4.3 แสดงค่าความต้านทานซีโรคอมโปเนนทเทียบกับค่ากระแสควบคุม ของฮอลล์เอฟเฟกต์ในเนื้อเรเตอร์.....	40
4.4 วงจรภายนอกที่ใช้ปรับแรงดันเอาพุทให้เป็นศูนย์ $B=0$ .....	40
4.5 แสดงค่าความไวสัญญาณ $V_{ho}/B$ ในฟังก์ชันของกระแสควบคุม....	41
4.6 กราฟของแรงดันเอาพุทของฮอลล์เทียบกับความหนาแน่นสนาม แม่เหล็กที่ค่าต่างๆ.....	43
4.7 B-H เคอร์ฟของตัวอย่างแกนเหล็กแผ่นซิลิกอน.....	44
4.8 MAGNETIZATION CURVE ของแกนแม่เหล็กที่ทำจาก SOFT-FERRITE .....	45
4.9 แสดงการติดตั้งฮอลล์เอฟเฟกต์ในเนื้อเรเตอร์.....	46
4.10 แสดงผลของอุณหภูมิที่มีต่อเอาพุทของฮอลล์.....	51
4.11 วงจรจ่ายกระแสควบคุม.....	52
4.12 วงจรกระแสควบคุมของฮอลล์เอฟเฟกต์ในเนื้อเรเตอร์.....	54
4.13 วงจรตรวจจับแรงดันสูงสุด.....	56

รายการประกอบ (ต่อ)

รูป	หน้า
4.14 วงจรเปรียบเทียบแรงดันและขั้วรีเลย์.....	57
4.15 วงจรอินพุทของแรงดัน AC .....	60
4.16 วงจรแบ่งแรงดันของแรงดัน DC อินพุท.....	60
4.17 วงจรเปลี่ยนยานวัด 115/230 โวลท์ DC/AC ของแรงดันอินพุท.....	61
4.18 วงจรอินสตรูเมนต์แอมป์.....	62
4.19 วงจรตัวกรองแอกติฟความถี่แบบ SECOND-ORDER.....	64
4.20 คุณสมบัติการตอบสนองต่อความถี่ของตัวกรองแอกติฟความถี่ผ่านแบบบัตเตอร์เวิร์ท.....	65
5.1 แรงดันเอาพุทของตัวคูณสัญญาณในฟังก์ชันของกระแสเหนี่ยวนำสนามแม่เหล็ก.....	76
5.2 ผลของอณหภูมิต่อเอาพุทของตัวคูณสัญญาณ.....	77
5.3 ผลของความถี่ต่อแรงดันเอาพุทของตัวคูณสัญญาณ.....	78
5.4 แสดงค่าเฟสที่หาของแรงดันเอาพุทของตัวคูณสัญญาณในฟังก์ชันของความถี่.....	78
5.5 อัตราย้ายแบบดีพีเพื่อเร็นเซียลของวงจรของวงจรรขยายสัญญาณวัดในฟังก์ชันของความถี่.....	79
5.6 ผลของอณหภูมิต่อเอาพุทของวงจรรขยายสัญญาณวัด.....	79
5.7 CALIBRATION CURVE ของวัดทรานส์ดิวเซอร์ ยานวัด 230 โวลท์.....	80
5.8 CALIBRATION CURVE ของวัดทรานส์ดิวเซอร์ ยานวัด 115 โวลท์.....	81

รายการรูปประกอบ ( ต่อ )

รูปที่

หน้า

5.9 CALIBRATION CURVE ของวัดทรานส์ควิเซอร์ เมื่อหงท กระแสไฟฟ้า.....	82
5.10 CALIBRATION CURVE ของวัดทรานส์ควิเซอร์ ศักดาตัวประกอบกำลัง 0.8.....	83
5.11 CALIBRATION CURVE ของวัดทรานส์ควิเซอร์ ศักดาตัวประกอบกำลัง 0.5.....	84
5.12 ผลของอุณหภูมิหรือเอาทเททของทรานส์ควิเซอร์.....	85
5.13 ผลของการเปลี่ยนแปลงแรงดันอนพทของวงจรแหล่งจ่ายกำลัง ไฟฟ้าต่อเอาทเททของทรานส์ควิเซอร์.....	86
5.14 รูปคลื่นกำลังไฟฟ้าของ โหลดทมิตัวประกอบกำลัง 100 %.....	87
5.15 รูปคลื่นกำลังไฟฟ้าของ โหลดทมิตัวประกอบกำลัง 80 % ล้าหลัง..	87
5.16 รูปคลื่นกำลังไฟฟ้าของ โหลดทมิตัวประกอบกำลัง 50 % ล้าหลัง..	88
5.17 รูปคลื่นกำลังไฟฟ้าอนคคตพีโหลด.....	88
5.18 รูปคลื่นกำลังไฟฟ้าของคาปาซิทีฟโหลด.....	89
5.19 รูปคลื่นกำลังไฟฟ้าของทรานเซียนทขณะเริ่มเดินมอเตอร.....	89
5.20 รูปคลื่นกำลังไฟฟ้าทรานเซียนทขณะท่วส์กำลังขาดออกจาถัน...	90
5.21 รูปคลื่นกำลังไฟฟ้าทรานเซียนทขณะท่เซอร์กิตเบรคเกอร์ กำลังทำงาน.....	90

รายการประกอบ ( ต่อ )

รูปที่	หน้า
6.1	92
6.2	93
6.3	96
6.4	106
6.5	106
7.1	110
7.2	110
7.3	112
7.4	113
7.5	113

## รายการตาราง

ตารางที่

หน้า

3.1	ค่า CARRIER MOBILITY ของสารกึ่งตัวนำ.....	23
4.1	ค่าคาปาซิเตอร์ก่อนกำหนดช่วงความถี่ของวงจรถ่วง แอกต์ไฟความถี่ตามแบบ SENCOND-ORDER.....	66
5.1	แสดงการปรับค่าแรงดัน DC ออฟเซ็ทของออปแอมป์...	72
6.1	แสดงสถานะของสัญญาณการเลือกขอมูล.....	95

## สัญลักษณ์

A	แอมแปร์
A/D	ตัวแปลงสัญญาณแอนาล็อกเป็นดิจิทัล ( ANALOG-TO-DIGITAL CONVERTER )
Ah	ซีโรคอมพิวเตอร์ในทอนคคแดนซ์ของฮอลล์
Av	อัตราขยายแรงดัน
$\beta$	สัมประสิทธิ์หรือผลคูณของสัมประสิทธิ์ของฮอลล์
B	ความหนาแน่นของสนามแม่เหล็ก ( MAGNETIC FIELD DENSITY )
Bair	ความหนาแน่นของสนามแม่เหล็กในช่องอากาศ
Bcore	ความหนาแน่นของสนามแม่เหล็กในแกนแม่เหล็ก
BCD	BINARY CODE DECIMAL
Bh	ความหนาแน่นสนามแม่เหล็กที่เหมาะสมสำหรับเอาท์พุทของฮอลล์ที่เป็นเชิงเส้น
Bm	ความหนาแน่นสนามแม่เหล็กเหนี่ยวนำเนื่องจากค่ากระแสเหนี่ยวนำสูงสุด
Bmax	ความหนาแน่นสนามแม่เหล็กเชิงเส้นสูงสุด
CT	หม้อแปลงกระแส
$\zeta$	แดมป์บิงแฟคเตอร์ ( DAMPING FACTOR )
$\delta_1$	มุมเฟสเนื่องจากฮิสเตอรีซิสของแกนแม่เหล็กของสนามแม่เหล็กเหนี่ยวนำ
$\delta_2$	มุมเฟสเนื่องจากหม้อแปลงแรงดัน
$\epsilon$	ความเบี่ยงเบนเชิงเส้น
$\epsilon_{max}$	ความเบี่ยงเบนเชิงเส้นสูงสุด
Ex	สนามไฟฟ้าของฮอลล์ตามแนวแกน X
e	ประจุอิเล็กตรอน
eV	อิเล็กตรอน โวลท์
$F_L$	แรงลอเรนซ์
Flin	ความคลาดเคลื่อนเชิงเส้น

H	ความเข้มของสนามแม่เหล็ก
Ic	กระแสควมคมของฮอลล์
Icm	ค่ากระแสควมคมเนื่องจากค่าสูงสุดของแรงดันกระแสสลับ
Icmax	กระแสควมคมสูงสุดของฮอลล์ เชนเนอเรเตอร์
In	กระแสควมคมเชิงเส้นสูงสุด
IL	กระแสไหล
Im	กระแสสูงสุด
Im	กระแสเหนี่ยวนำสนามแม่เหล็ก
Jx	ความเข้มของกระแสตามแนวแกน X
K	หน่วยของอุณหภูมิสัมบูรณ์ ( KELVIN )
Kb	ความไวสัญญาณของฮอลล์
Kbo	ความไวสัญญาณวงจรเปิดของฮอลล์
$\alpha$	สัมประสิทธิ์อุณหภูมิของความต้านทานภายในของฮอลล์
lcore	ความยาวเส้นทางเดินสนามแม่เหล็กของแกนแม่เหล็ก
$\mu$ core	ความซึมแม่เหล็กของแกนแม่เหล็ก
$\mu$ n	ELECTRON MOBILITY
$\mu$ o	ความซึมแม่เหล็กของอากาศ
$\mu$ r	ความซึมแม่เหล็กสัมพัทธ์
m	เมตร
mA	มิลลิแอมป์
mV	มิลลิโวลท์
n	ความหนาแน่นของพาหะอิเล็กตรอน ( ELECTRON CARRIER DENSITY )
p	กำลังไฟฟ้าขั้วขณะ
P	กำลังไฟฟ้าเฉลี่ยหรือกำลังไฟฟ้าประสิทธิผล
PT	หม้อแปลงแรงดัน
$\rho$	ค่าความต้านทาน ( RESISTIVITY )
Rh	สัมประสิทธิ์ของฮอลล์

$R_{LL}$	ความต้านทานโหลดเอาทพุตเชิงเส้นของฮอลล์
$r_0$	ความต้านทานซีโรคอมโปเนนทของฮอลล์
$r$	ความต้านทานภายในของฮอลล์
$r_1$	ความต้านทานภายในคานอนพุทของฮอลล์
$r_2$	ความต้านทานภายในคานเอาทพุทของฮอลล์
$r_{10}$	ความต้านทานภายในคานอนพุทของฮอลล์ที่ $B = 0$
$r_{20}$	ความต้านทานภายในคานเอาทพุทของฮอลล์ที่ $B = 0$
sec	วินาที
T	จำนวนรอบ
T	หน่วยของความหนาแน่นสนามแม่เหล็ก ( TESLA )
T	อุณหภูมิ
To	อุณหภูมิอ้างอิง
t	เวลา
$U_x$	ความเร็วของประจุอิเล็กตรอนตามแนวแกน X
$V_h$	ความต่างศักย์ไฟฟ้าของฮอลล์
$V_{ho}$	ความต่างศักย์ไฟฟ้าวงจรเปิดของฮอลล์
$V_{h10}$	ความต่างศักย์ไฟฟ้าของฮอลล์เนื่องจากซีโรคอมโปเนนทอนคคแทนท์
$V_{hro}$	ความต่างศักย์ไฟฟ้าของฮอลล์เนื่องจากความต้านซีโรคอมโปเนนท
$V_m$	แรงดันสูงสุด
$V_L$	แรงดันคร่อมโหลด
$\omega$	ความเร็วเชิงมุม
$\nabla$	จุดต่อลงกราวด์